

 ANEXO 1

*del artículo*

Imágenes ópticas multiespectrales y SAR para aplicación geológica:  
caso suroeste del Ecuador - Provincia de El Oro

*por:*

**Aracely Lima Abásolo, Antonio Vázquez Hoehne,  
Íñigo Molina Sánchez y Tannia Mayorga-Torres**

*Publicado en*

**Revista Mexicana de Ciencias Geológicas 41-3, diciembre 2024, p. 232–248**

DOI: <http://dx.doi.org/10.22201/igc.20072902e.2024.3.1830>

**COPYRIGHT**

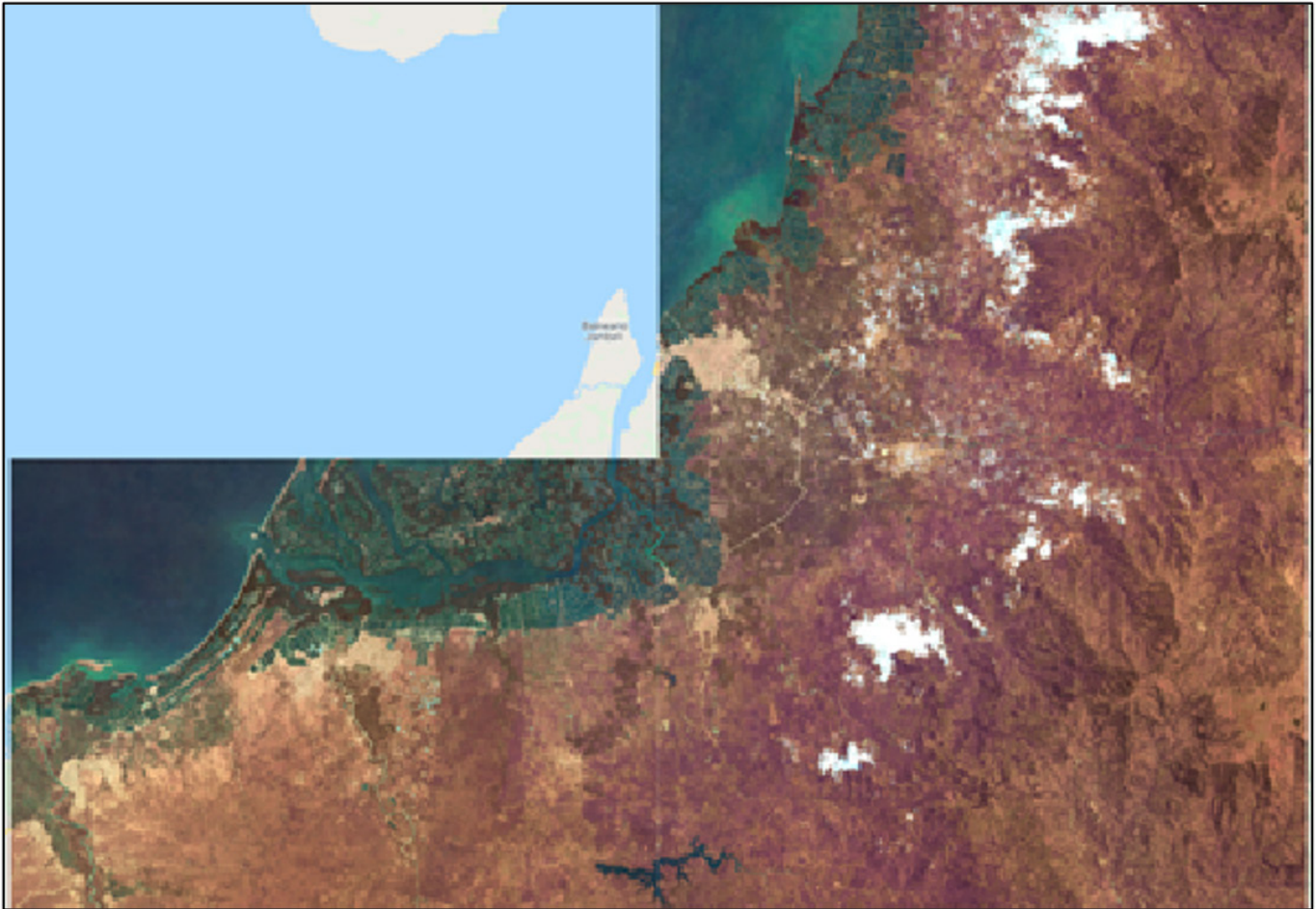
© 2024 Los autores.

Este es un artículo de acceso-abierto publicado y distribuido por la Universidad Nacional Autónoma de México bajo los términos de una [Licencia Creative Commons Atribución/Reconocimiento 4.0 Internacional \(CC BY\)](https://creativecommons.org/licenses/by/4.0/), que permite el uso, distribución y reproducción sin restricciones en cualquier medio, siempre que se de crédito al autor original y la fuente.



EJEMPLOS DE LOS COMPOSITOS OBTENIDOS CON  
IMÁGENES ÓPTICAS Y RADAR

Mosaico de imágenes LANDSAT  
Período: 2013-01-01, 2018-12-31  
LC08\_C01\_T1\_SR  
RGB 742

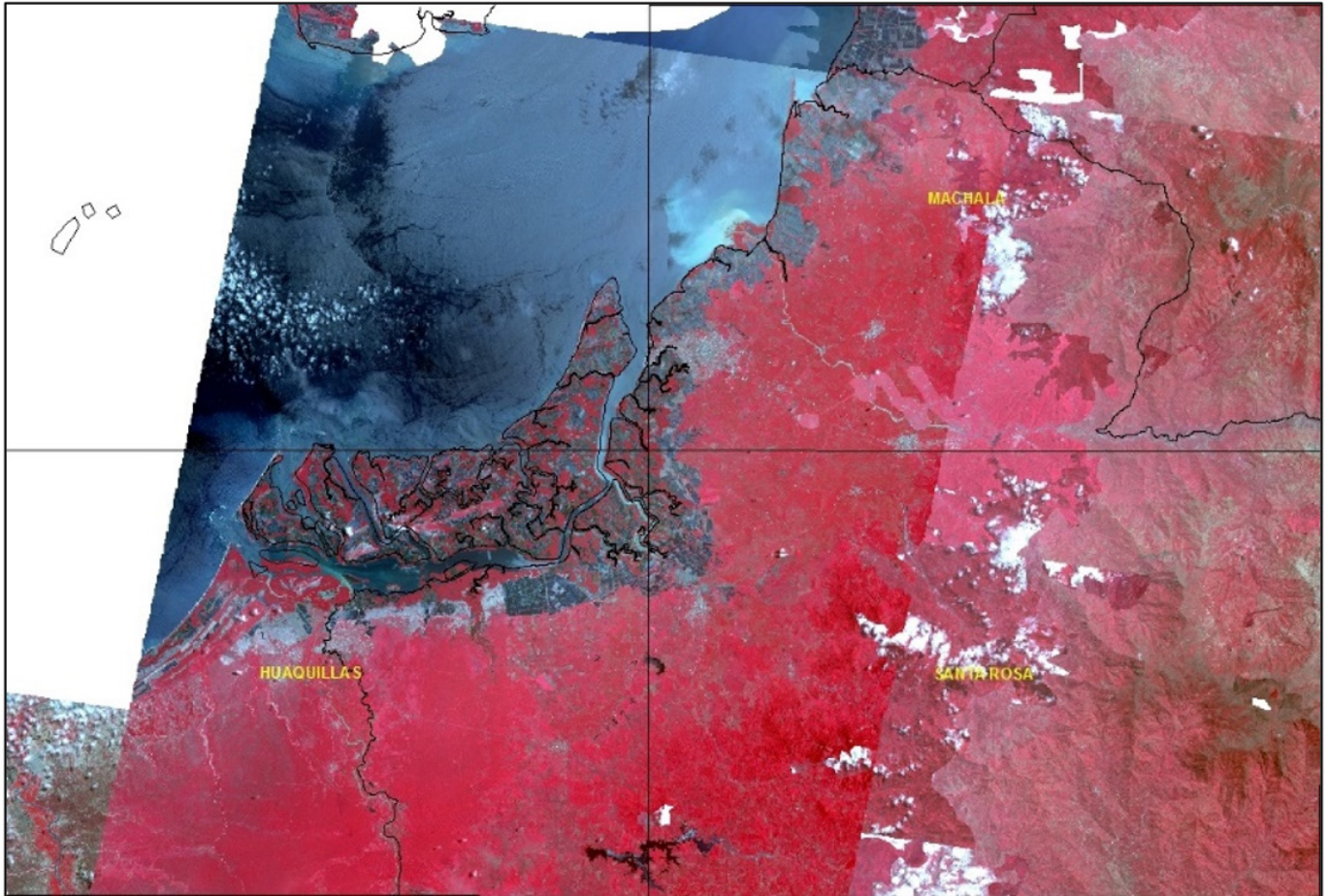


Fuente: Google Earth Engine, 2019.

*continúa*

EJEMPLOS DE LOS COMPOSITOS OBTENIDOS CON  
IMÁGENES ÓPTICAS Y RADAR

Mosaico de imágenes ASTER  
Período: 2000-01-01, 2018-08-15  
Aster L1T  
RGB 3N, 2, 1

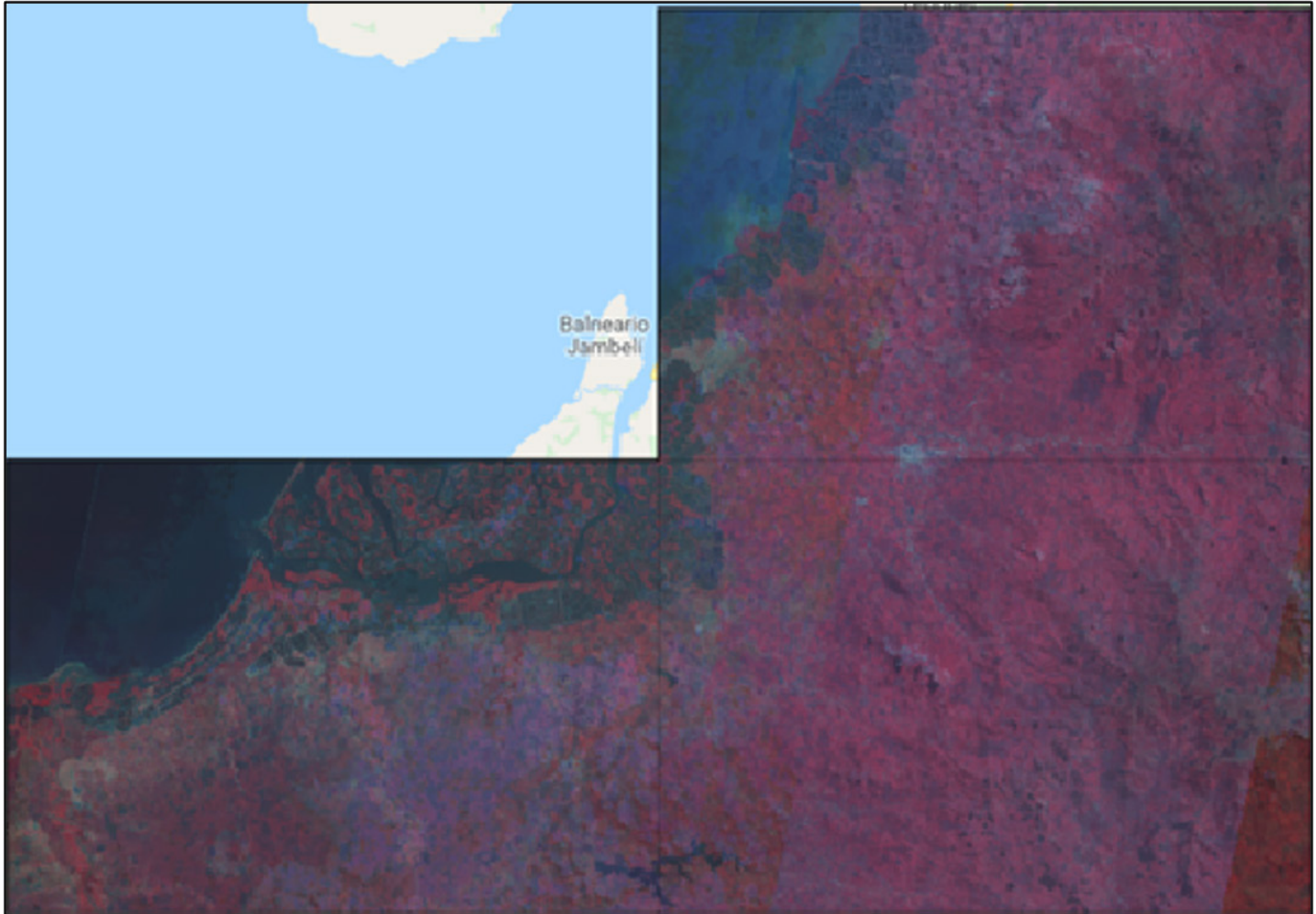


Fuente: Google Earth Engine, 2019.

*continúa*

EJEMPLOS DE LOS COMPOSITOS OBTENIDOS CON  
IMÁGENES ÓPTICAS Y RADAR

Mosaico de imágenes ASTER  
Período: 2000-01-01, 2018-08-15  
Aster L1T  
RGB: 14, 5, 1

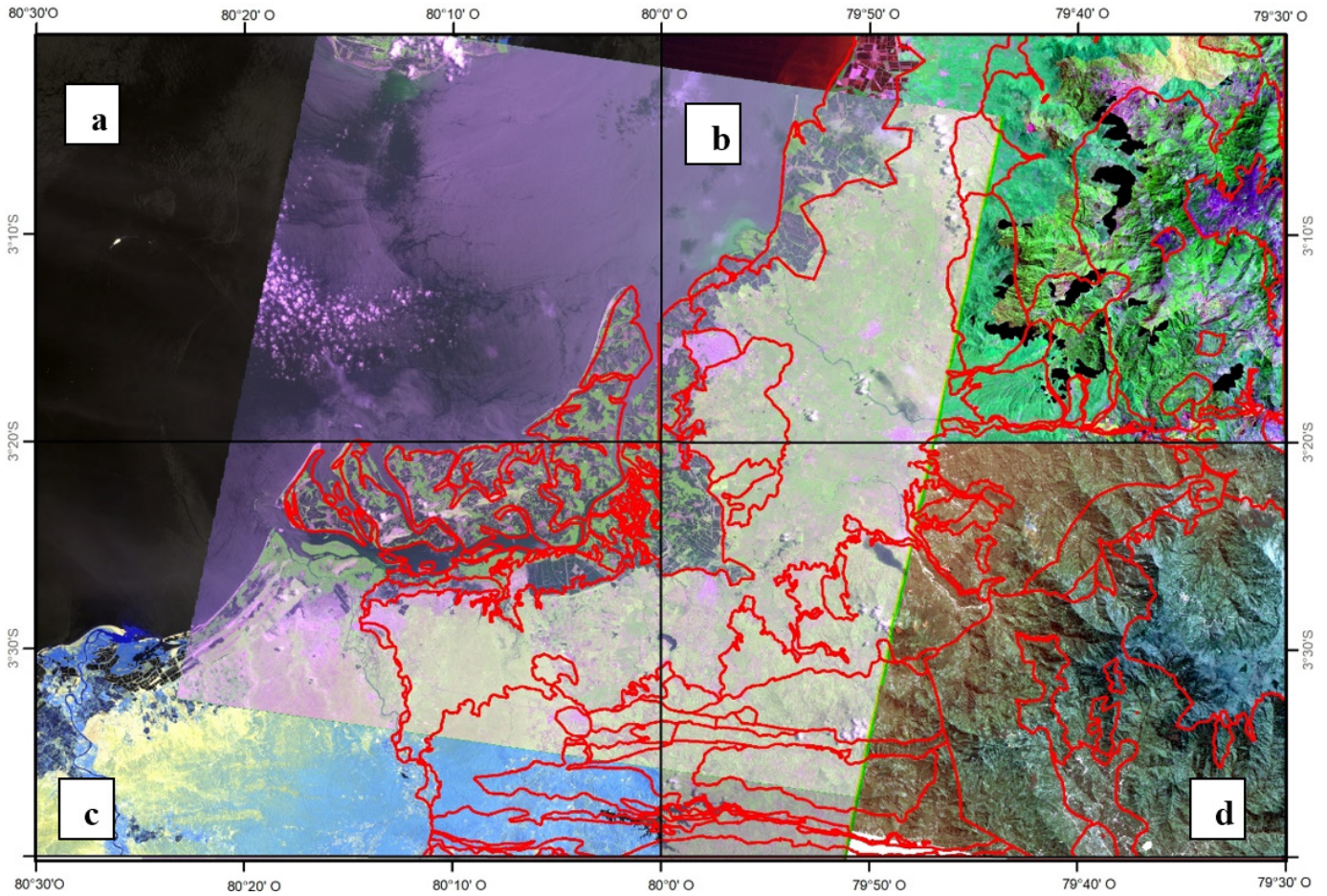


Fuente: Google Earth Engine, 2019.

*continúa*

EJEMPLOS DE LOS COMPOSITOS OBTENIDOS CON  
IMÁGENES ÓPTICAS Y RADAR

Contactos geológicos superpuestos en mosaicos de composiciones falso color RGB Landsat y ASTER:  
a) ASTER 435; b) ASTER 754; c) ASTER 534; d) Landsat 482.



Fuente: Google Earth Engine, 2019.